

КРАТКИЕ СООБЩЕНИЯ

УДК 541.6

МНОГОЦЕНТРОВОЕ ВЗАИМОДЕЙСТВИЕ В 12-ЯДЕРНЫХ РЕНИЕВЫХ УГЛЕРОД-ЦЕНТРИРОВАННЫХ ХАЛЬКОЦИАНИДНЫХ КЛАСТЕРАХ

© 2011 С. Г. Козлова*, С. П. Габуда, В. Е. Фёдоров, Н. Г. Наумов,
Ю. В. Миронов

Учреждение Российской академии наук Институт неорганической химии им. А. В. Николаева СО РАН,
Новосибирск

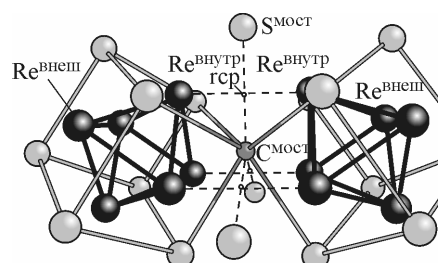
Статья поступила 19 ноября 2010 г.

Топологическим методом квантовой химии AIM изучена область контакта треугольной мостиковой группировки $\{CS_3\}$ в 12-ядерных кластерных фрагментах $\{Re_{12}CS_{17}\}$. Показано, что в исследуемой области внутримолекулярное взаимодействие характеризуется циклической критической точкой (gcp), параметры которого зависят от степени окисления и могут объяснять необычные структурные изменения кластерных комплексов в редокс-превращениях $[Re_{12}CS_{17}(CN)_6]^{8-} \leftrightarrow [Re_{12}CS_{17}(CN)_6]^{6-}$.

Ключевые слова: внутримолекулярные взаимодействия, 12-ядерные кластерные комплексы рения, квантово-химический метод AIM.

В работах [1–5] были рассмотрены 12-ядерные кластеры $[Re_{12}CS_{17}(CN)_6]^n^-$ с варьируемым состоянием окисления ($n = 6$ и 8). В уникальной конструкции подобных кластеров две 6-ядерные субъединицы $[Re_6]$ связаны между собой треугольной мостиковой группировкой $[CS_3]^{10-}$. Атом C^{4-} в данной конструкции занимает общую для двух субъединиц $[Re_6]$ фациальную позицию, а атомы S^{2-} — общие для двух субъединиц $[Re_6]$ апикальные позиции (см. рисунок).

Детальное исследование структурных изменений в кластерных комплексах $[Re_{12}CS_{17}(CN)_6]^n^-$ при изменении степени окисления от $n = 6$ к $n = 8$ проводили методом рентгеноструктурного анализа на монокристаллических образцах состава $K_6Re_{12}CS_{17}(CN)_6 \cdot 20H_2O$ и $K_8Re_{12}CS_{17}(CN)_6$ [2]. Было найдено, что изменение структуры комплекса (см. рисунок) при редокс-превращении затрагивает главным образом область контакта треугольной мостиковой группировки $[CS_3]^{10-}$ с субъединицами Re_6 . В состоянии с $n = 6$ расстояние $Re^{\text{внутр}} \dots Re^{\text{внутр}}$ оказывается на $\sim 0,3 \text{ \AA}$ меньше, а расстояние $C^{\text{мост}} \dots S^{\text{мост}}$ на $\sim 0,12 \text{ \AA}$ больше, чем для кластера в степени окисления $n = 8$ (см. таблицу). Таким образом, при удалении двух электронов из данного кластера расстояние между ближайшими атомами $Re^{\text{внутр}}$ двух субъединиц Re_6 сокращается на $\sim 10 \%$, что может указывать на возникновение сильного притяжения, связываемого с электронным обменом.



Молекула $Re_{12}CS_{17}$ и локализация трех колецевых критических точек gcp.

В анионах $[Re_{12}CS_{17}(CN)_6]^{6-8-}$ и $[Re_{12}CS_{17}(OH)_6]^{6-}$ циано- и оксо-группы занимают апикальные позиции у $Re^{\text{внеш}}$. Штриховые линии — оси повышенной электронной плотности $\rho(r)$ в области $Re^{\text{внутр}}—C^{\text{мост}}—S^{\text{мост}}—Re^{\text{внутр}}$

* E-mail: sgk@niic.nsc.ru

Зависимость оптимизированных внутримолекулярных расстояний и параметров кольцевых критических точек гср от электронной конфигурации в 12-ядерных Re-комплексах

Комплекс	$d^2:d^4$	$\text{Re}^{\text{внутр}} \dots \text{Re}^{\text{внутр}}, \text{\AA}$	$\text{C}^{\text{мост}} \dots \text{S}^{\text{мост}}, \text{\AA}$	$\rho, \text{ат. ед.}$	$\nabla^2 \rho, \text{ат. ед.}$	$E, \text{эВ}/\text{\AA}^3$
$\text{Re}_{12}\text{CS}_{17}$	1:11	2,885	3,428	0,052	0,102	-2,145
$[\text{Re}_{12}\text{CS}_{17}(\text{CN})_6]^{6-}$	1:11	2,974 (2,901)*	3,454 (3,438)	0,046	0,094	-1,65
$[\text{Re}_{12}\text{CS}_{17}(\text{CN})_6]^{8-}$	0:12	3,290 (3,168)	3,330 (3,332)	0,034	0,099	-0,55
$[\text{Re}_{12}\text{CS}_{17}(\text{OH})_6]^{6-}$	1:11	2,967 (2,912)	3,477 (3,442)	0,045	0,094	-1,50

* В скобках приведены экспериментальные расстояния.

ном $\text{Re}^{\text{внутр}} \dots \text{Re}^{\text{внутр}}$. Представляет существенный интерес исследовать структурно-химический механизм наблюдаемой необычной перестройки молекулярной структуры 12-ядерного Re-кластера.

Для уточнения механизма изменения молекулярной структуры проводили квантово-химические расчеты с полной оптимизацией структуры кластерных комплексов $[\text{Re}_{12}\text{CS}_{17}(\text{CN})_6]^n-$ в состояниях окисления $n = 6$ и 8 и для сравнения комплексов $[\text{Re}_{12}\text{CS}_{17}]^0$ и $[\text{Re}_{12}\text{CS}_{17}(\text{OH})_6]^{6-}$ [6] при использовании теории функционала плотности, реализованной в пакете программ [7]. В качестве функционалов плотности выбирали функционалы VWN [8] и BP [9, 10], для атомных базисов использовали слэтеровский тип атомных функций TZP без остановного потенциала для всех атомов [7]. На основании результатов DFT расчета электронных структур при использовании программы XAIM [11] был проведен количественный анализ электронной плотности $\rho(r, R)$ методом Р. Бейдера (AIM), который базируется на фундаментальном принципе стационарного действия Ю. Швингера [12, 13]. В соответствии с методом AIM, характер межатомных взаимодействий в произвольной молекулярной системе может быть найден на основе топологического анализа функции распределения электронной плотности $\rho(r, R)$ (r и R — координаты электронов и ядер). При этом структура и межатомные взаимодействия в системе полностью определяются набором и типами "критических точек", в которых градиент электронной плотности $\nabla \rho(r, R)$ равен нулю. Вторые производные $\nabla^2 \rho(r, R)$ (лапласиан), вычисленные в этих точках, образуют действительную симметричную матрицу 3×3 . Было найдено [12], что для случая невырожденных состояний матрицы возможны всего четыре типа критических точек электронной плотности $\rho(r, R)$: 1) точки локальных максимумов, соответствующих позициям ядер; 2) связующие седловые точки, характеризующие парные взаимодействия между атомами; 3) седловые точки второго типа, характеризующие кольцевые связи, обозначаемые символом гср (ring critical point — циклические критические точки); 4) клеточные критические точки, в которых достигается локальный минимум электронной плотности.

Обнаружено, что область контакта треугольной мостиковой группировкой $[\text{CS}_3]^{10-}$ с кубооктаэдрическими субъединицами Re_6 характеризуется наличием седловых точек второго типа гср, локализованных в трех точках пересечения линий $\text{Re}^{\text{внутр}}-\text{Re}^{\text{внутр}}$ и $\text{C}^{\text{мост}}-\text{S}^{\text{мост}}$ или, другими словами, в каждом из трех центров ромбов $\text{Re}^{\text{внутр}}-\text{C}^{\text{мост}}-\text{S}^{\text{мост}}-\text{Re}^{\text{внутр}}$ локализованы три кольцевые критические точки гср (см. рисунок). Численные значения результатов расчета и параметры найденных критических точек приведены в таблице.

Наличие критических точек данного типа свидетельствует о многоцентровом (трижды 4-центровом, а точнее — 10-центровом) характере внутримолекулярного взаимодействия в 12-ядерных кластерах рения. Судя по численным значениям параметров критических точек, при удалении двух электронов из кластера $[\text{Re}_{12}\text{CS}_{17}(\text{CN})_6]^{8-}$ энергия многоцентрового взаимодействия (притяжения) атомов в окрестностях точки увеличивается в 3—4 раза, что может объяснить ~10 % сокращение расстояния $\text{Re}^{\text{внутр}} \dots \text{Re}^{\text{внутр}}$ в $[\text{Re}_{12}\text{CS}_{17}(\text{CN})_6]^{6-}$, $[\text{Re}_{12}\text{CS}_{17}(\text{OH})_6]^{6-}$ и $\text{Re}_{12}\text{CS}_{17}$ по сравнению с расстояниями $\text{Re}^{\text{внутр}} \dots \text{Re}^{\text{внутр}}$ в $[\text{Re}_{12}\text{CS}_{17}(\text{CN})_6]^{8-}$.

Работа выполнена при поддержке Российского фонда фундаментальных исследований (проекты 11-03-00637 и 10-03-01040) и программы Президиума СО РАН № 21.

СПИСОК ЛИТЕРАТУРЫ

1. *Федоров В.Е.* Халькогениды переходных тугоплавких металлов. Квазиодномерные соединения. – Новосибирск: Наука, 1988.
2. *Mironov Y.V., Naumov N.G., Kozlova S.G. et al.* // *Angew. Chem., Int. Ed. Engl.* – 2005. – **44**. – P. 6867.
3. *Kozlova S.G., Gabuda S.P., Slepkov V.A. et al.* // *Polyhedron.* – 2008. – **27**. – P. 3167.
4. *Gabuda S.P., Kozlova S.G., Mironov Yu.V. et al.* // *Nanoscale Res. Lett.* – 2009. – **4**. – P. 1110.
5. *Fedorov V.E., Gabuda S.P., Kozlova S.G. et al.* In: Proc. 33-rd Intern. Conv. MIPRO (Microelectronics, Electronics and Electronic Technology) / Eds. P. Biljanovic, K. Skala. – Opatija, Croatia, 2010. – P. 29 – 31.
6. *Mironov Yu.V., Kozlova S.G., Kim Sung-Jin et al.* // *Polyhedron.* – 2010. – **29**. – P. 3283.
7. Density Functional (ADF) program, Release 2008.02. – Vrije Universiteit: Amsterdam, The Netherlands, 2008. <http://www.scm.com/>.
8. *Vosko S.H., Wilk L., Nusair M.* // *Canad. J. Phys.* – 1980. – **58**. – P. 1200.
9. *Becke A.D.* // *Phys. Rev. A.* – 1988. – **38**. – P. 3098.
10. *Perdew J.P.* // *Phys. Rev. B.* – 1986. – **33**(12). – P. 8822.
11. *Ortiz J.C., Bo Jane C.* XAIM Program. – Spain, Departament de Quimica Fisica i Inorganica, Universitat Rovira i Virgili, Tarragona, 2009. <http://www.quimica.urv.es/XAIM/>.
12. *Бейдер Р.* Атомы в молекулах. Квантовая теория. – М.: Мир, 2001 (Bader R.F. Atoms in Molecules: A Quantum Theory. – Clarendon, Oxford, 1990).
13. *Schwinger J.* // *Phys. Rev.* – 1951. – **82**. – P. 914.